

УДК 539.3

КОЛЕБАНИЯ ЛЬДИНЫ ПОД ДЕЙСТВИЕМ ИМПУЛЬСА ТРЕУГОЛЬНОЙ ФОРМЫ

М.-Й. Ху, Ч.-Х. Чзан

Военно-морской инженерный университет, 430033 Ухань, Китай
E-mails: shuai_humingyong@163.com, zhangzhihong_999@163.com

С использованием преобразований Ханкеля и Лапласа получено аналитическое решение задачи о движении льдины под действием импульса треугольной формы. Построены зависимости прогиба от времени при различных значениях физических и геометрических параметров задачи, а также распределение прогиба по пространственной координате.

Ключевые слова: импульс треугольной формы, плавающая льдина, неустановившееся движение, преобразование Ханкеля, вязкоупругая пластина.

DOI: 10.15372/PMTF20170416

Введение. Интерес к исследованию поведения льдин при воздействии на них различных нагрузок обусловлен необходимостью осуществления перевозок морским путем в северных широтах. Такие исследования проводятся в США, России, Японии, Канаде и других странах. Результаты экспериментальных и теоретических исследований поведения льдин при воздействии на них нагрузок приведены в работах [1–13].

Впервые задача о воздействии на льдину импульсно-ударной нагрузки решена в работе [1], в которой рассматривалась нагрузка в виде дельта-функции по времени и пространственным координатам. Льдина моделировалась бесконечной упругой пластиной. В работах [14, 15] решена аналогичная осесимметричная двумерная задача. Льдина моделировалась вязкоупругой пластиной. В [16, 17] численно решена задача о воздействии на льдину ударной нагрузки. В работе [18] с использованием асимптотических методов исследовалось распространение волн по свободной или покрытой льдинами поверхности. Волны индуцировались либо взрывной нагрузкой, либо прогибами пластины. Распространение индуцированных заглубленным источником волн по покрытой льдинами поверхности изучено в [19]. В работах [20, 21] с использованием преобразований Ханкеля и Лапласа решена задача о движении льдины под действием взрывной нагрузки и нагрузки синусоидальной формы. Льдина моделировалась вязкоупругой пластиной.

В данной работе решается задача о движении льдины под действием импульса треугольной формы. С использованием преобразований Ханкеля и Лапласа получено аналитическое решение задачи.

Работа выполнена при финансовой поддержке Национального фонда естественных наук Китая (грант № 51479202) и Фонда естественных наук Военно-морского инженерного университета (грант № 425517K002).

© Ху М.-Й., Чзан Ч.-Х., 2017

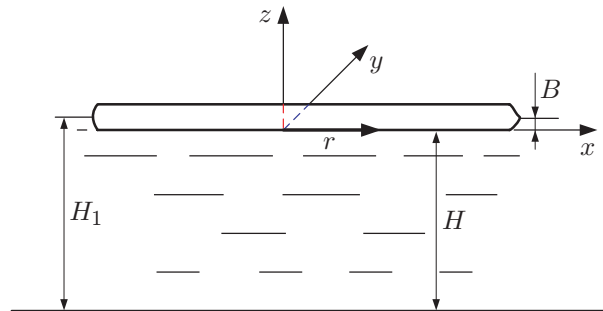


Рис. 1. Схема задачи

1. Постановка задачи и ее решение. Математическая задача формулируется при следующих предположениях:

- 1) льдина моделируется пластиной из изотропного однородного вязкоупругого материала (модель Кельвина — Фойгхта), имеющей постоянные толщину и плотность;
- 2) вода представляет собой идеальную несжимаемую жидкость, движение воды является потенциальным;
- 3) на пластину действует равномерная нагрузка, распределенная по кругу радиусом r_0 , поэтому задача решается в осесимметричной постановке.

Предполагается, что в начальный момент времени недеформированная пластина из однородного изотропного вязкоупругого материала лежит на вязкоупругом основании (рис. 1). Плоскость xy является границей между недеформированной пластиной и вязкоупругим основанием, ось z перпендикулярна плоскости xy . На рис. 1 H_1 — глубина резервуара; $B = \rho_1 h / \rho_2$ — глубина погружения пластины в жидкость в состоянии равновесия; h, ρ_1 — толщина и плотность пластины соответственно; ρ_2 — плотность воды; $H = H_1 - B$.

Уравнение движения льдины, лежащей на вязкоупругом основании, под действием треугольного импульса записывается в виде [14]

$$\frac{Gh^3}{3} \left(1 + \tau_\varphi \frac{\partial}{\partial t} \right) \nabla^4 w + \rho_1 h \frac{\partial^2 w}{\partial t^2} + \rho_2 g w + \rho_2 \frac{\partial \Phi}{\partial t} \Big|_{z=0} = F(r) f(t), \quad (1)$$

где $w = w(r, t)$ — прогиб пластины; $G = E / (2(1 + \mu))$ — модуль сдвига; E — модуль упругости льда при растяжении и сжатии; μ — коэффициент Пуассона; τ_φ — время релаксации; $\Phi(r, z, t)$ — потенциальная функция скорости; r — радиус-вектор точки, принадлежащей поверхности пластины; $F(r) = M(r_0 - r) / (\pi r_0^2)$; $M(r_0 - r)$ — функция Хевисайда; $f(t)$ — функция, задающая форму треугольного импульса:

$$f(t) = \begin{cases} 0, & t < 0, \\ bt/a, & 0 \leq t < a, \\ -bt/a + 2b, & a \leq t < 2a, \\ 0, & t \geq 2a. \end{cases}$$

С использованием функции Хевисайда выражение для функции $f(t)$ записывается в следующем виде:

$$f(t) = \frac{bt}{a} [M(t) - M(t - a)] + \left(-\frac{bt}{a} + 2b \right) [M(t - a) - M(t - 2a)]. \quad (2)$$

Для прогиба пластины w задаются начальные условия

$$t = 0: \quad w = 0, \quad \dot{w} = 0,$$

на границе между льдиной и водой ставятся кинематические условия сопряжения

$$\frac{\partial \Phi}{\partial z} \Big|_{z=0} = \frac{\partial w}{\partial t}, \quad (3)$$

для функции $\Phi(r, z, t)$ задается условие на дне резервуара

$$\frac{\partial \Phi}{\partial z} \Big|_{z=-H} = 0. \quad (4)$$

К функциям $w(r, t)$ и $\Phi(r, z, t)$ применим преобразование Ханкеля нулевого порядка:

$$w_H(\xi, t) = \int_0^\infty r w(r, t) J_0(\xi r) dr, \quad \Phi_H(\xi, z, t) = \int_0^\infty r \Phi(r, z, t) J_0(\xi r) dr$$

($w_H(\xi, t)$, $\Phi_H(\xi, z, t)$ — трансформанты функций $w(r, t)$ и $\Phi(r, z, t)$ соответственно; ξ — параметр преобразования Ханкеля; $J_0(\xi r)$ — функция Бесселя нулевого порядка). Предполагается, что функцию $\Phi_H(\xi, z, t)$ можно представить в виде

$$\Phi_H(\xi, z, t) = A_1 e^{-\xi z} + B_1 e^{\xi z}, \quad (5)$$

где A_1, B_1 — неизвестные функции переменных ξ и t . Применяя преобразование Ханкеля к уравнениям (3), (4), получаем

$$\frac{\partial \Phi_H(\xi, z, t)}{\partial z} \Big|_{z=0} = \dot{w}_H, \quad \frac{\partial \Phi_H(\xi, z, t)}{\partial z} \Big|_{z=-H} = 0. \quad (6)$$

Подставляя (5) в (6), для функций A_1, B_1 получаем следующие выражения:

$$A_1 = \frac{\dot{w}_H e^{-2\xi H}}{\xi(1 - e^{-2\xi H})}, \quad B_1 = \frac{\dot{w}_H}{\xi(1 - e^{-2\xi H})}. \quad (7)$$

После подстановки (7) в (5) находим

$$\Phi_H(\xi, z, t) = \frac{\dot{w}_H(e^{-2\xi H} e^{-\xi z} + e^{\xi z})}{\xi(1 - e^{-2\xi H})}. \quad (8)$$

Применяя преобразование Ханкеля к уравнению (1) с учетом выражений (2), (8), получаем уравнение

$$m(\xi)\ddot{w}_H + k(\xi)\dot{w}_H + c(\xi)w_H = \frac{J_1(\xi r_0)}{\pi \xi r_0} f(t), \quad (9)$$

где $J_1(\xi r)$ — функция Бесселя первого порядка,

$$k(\xi) = \frac{Gh^3 \tau_\varphi \xi^4}{3}, \quad m(\xi) = \rho_1 h + \frac{\rho_2}{\xi \operatorname{th}(\xi H)}, \quad c(\xi) = \frac{Gh^3 \xi^4}{3} + \rho_2 g.$$

Площадь области пластины, на которую действует нагрузка, полагается малой, т. е.

$$\lim_{r_0 \rightarrow 0} \frac{J_1(\xi r_0)}{\pi \xi r_0} = \frac{1}{2\pi}.$$

Таким образом, уравнение (9) можно записать в виде

$$m\ddot{w}_H + k\dot{w}_H + c w_H = f(t)/(2\pi), \quad (10)$$

где k, m, c — функции переменной ξ . Применяя преобразование Лапласа к уравнению (10), получаем

$$\tilde{w}(\xi, s) = \tilde{w}_{1s} \tilde{w}_{2s}, \quad (11)$$

где $\tilde{w}(\xi, s)$ — трансформанта функции w_H ; s — параметр преобразования Лапласа,

$$\tilde{w}_{1s} = \frac{b(1 - 2e^{-as} + e^{-2as})}{as^2}; \quad (12)$$

$$\tilde{w}_{2s} = \frac{1}{2\pi(ms^2 + ks + c)}. \quad (13)$$

Применяя обратное преобразование Лапласа к (12), находим

$$w_{1t} = f(t),$$

где w_{1t} — обратное преобразование Лапласа трансформанты \tilde{w}_{1s} . Очевидно, что функция w_{1t} идентична функции $f(t)$. Применяя обратное преобразование Лапласа к уравнению (13), получаем

$$w_{2t} = \begin{cases} (e^{k_1 t} - e^{k_2 t})/[2\pi m(k_1 - k_2)], & cm - k^2/4 < 0, \\ t e^{-kt/(2m)} / (2\pi m), & cm - k^2/4 = 0, \\ e^{-kt/(2m)} \sin(t\sqrt{cm - k^2/4}/m) / (2\pi\sqrt{cm - k^2/4}), & cm - k^2/4 > 0, \end{cases}$$

где

$$k_1 = -k/(2m) + \sqrt{k^2/(4m^2) - c/m}, \quad k_2 = -k/(2m) - \sqrt{k^2/(4m^2) - c/m}.$$

Применим обратное преобразование Лапласа к уравнению (11) и используем интегральную свертку кусочно-непрерывной функции. В результате имеем

1) при $cm - k^2/4 < 0$

$$w_H = \begin{cases} p_1 C_1, & 0 \leq t < a, \\ p_1(C_2 + C_3), & a \leq t < 2a, \\ p_1(C_2 + C_4), & t \geq 2a, \end{cases}$$

где

$$\begin{aligned} p_1 &= b/[2\pi m a(k_1 - k_2)], \\ C_1 &= \frac{(e^{k_1 t} - 1)k_2^2 - k_1 k_2^2 t + k_1(1 - e^{k_2 t} + k_2 t)}{k_1^2 k_2^2}, \\ C_2 &= \frac{e^{k_1 t}}{k_1^2} - \frac{e^{k_1(t-a)}(1 + ak_1)}{k_1^2} - \frac{e^{k_2 t}}{k_2^2} + \frac{e^{k_2(t-a)}(1 + ak_2)}{k_2^2}, \\ C_3 &= \frac{e^{k_1(t-a)}(ak_1 - 1)}{k_1^2} + \frac{e^{k_2(t-a)}(1 - ak_2)}{k_2^2} + \frac{1 - 2ak_1 + k_1 t}{k_1^2} - \frac{1 - 2ak_2 + k_2 t}{k_2^2}, \\ C_4 &= \frac{e^{k_1(t-2a)}}{k_1^2} + \frac{e^{k_1(t-a)}(ak_1 - 1)}{k_1^2} - \frac{e^{k_2(t-2a)}}{k_2^2} + \frac{e^{k_2(t-a)}(1 - ak_2)}{k_2^2}; \end{aligned}$$

2) при $cm - k^2/4 > 0$

$$w_H = \begin{cases} p_2 e^{-vt} D_1, & 0 \leq t < a, \\ p_2[e^{-vt}(D_2 - D_3) + D_4 - D_5], & a \leq t < 2a, \\ p_2[e^{-vt}(D_2 - D_3) + D_6 + D_7], & t \geq 2a, \end{cases}$$

где

$$p_2 = b/[2\pi m a u(u^2 + v^2)^2],$$

$$\begin{aligned}
 D_1 &= e^{vt} u(t(u^2 + v^2) - 2v) + 2uv \cos(ut) + (v^2 - u^2) \sin(ut), \\
 D_2 &= e^{av} u(a(u^2 + v^2) - 2v) \cos[(a - t)u] + 2uv \cos(ut), \\
 D_3 &= e^{av} (v^2(av - 1) + u^2(1 + av)) \sin[(a - t)u] - (v^2 - u^2) \sin(ut), \\
 D_4 &= u[2v + (2a - t)(u^2 + v^2)] + e^{(a-t)v} [-u(2v + a(u^2 + v^2))] \cos[(t - a)u], \\
 D_5 &= [u^2(av - 1) + v^2(1 + av)] \sin[(t - a)u], \\
 D_6 &= e^{2av-tv} \{2uv \cos[(t - 2a)u] + (v^2 - u^2) \sin[(t - 2a)u]\}, \\
 D_7 &= e^{(a-t)v} \{-u[2v + a(u^2 + v^2)] \cos[(t - a)u] - [u^2(av - 1) + v^2(1 + av)] \sin[(t - a)u]\}, \\
 u &= \sqrt{c/m - k^2/(4m^2)}, \quad v = k/(2m);
 \end{aligned}$$

3) при $cm - k^2/4 = 0$

$$w_H = \begin{cases} p_3 e^{-vt} [2 + tv + e^{vt}(tv - 2)], & 0 \leq t < a, \\ p_3 e^{-vt} \{2 + tv - e^{vt}[2 + v(t - 2a + a(a - t)v)]\} + \\ \quad + p_3 \{2 + 2av - tv - e^{(a-t)v}[2 + v(t + a(t - a)v)]\}, & a \leq t < 2a, \\ p_3 e^{-vt} \{2 + tv - e^{vt}[2 + v(t - 2a + a(a - t)v)]\} + \\ \quad + p_3 e^{(a-t)v} \{e^{av}(2 - 2av + tv) - 2 - v[t + a(t - a)v]\}, & t \geq 2a, \end{cases}$$

где

$$p_3 = b/(2\pi mav^3).$$

Применяя обратное преобразование Ханкеля к функции w_H , получаем

$$w(r, t) = \int_0^\infty w_H \xi J_0(\xi r) d\xi. \tag{14}$$

2. Результаты вычислений. Приведенные ниже зависимости прогиба пластины от времени получены в результате вычислений интеграла в равенстве (14) при следующих значениях физических параметров пластины и жидкости: $E = 5 \cdot 10^9$ Н/м², $h = 0,5 \div 2,0$ м, $\tau_\varphi = 0,05 \div 5,00$ с, $\rho_1 = 900$ кг/м³, $H = 3 \div 30$ м, $\rho_2 = 1000$ кг/м³, $\mu = 0,45$, $a = 0,1$ с, $b = 10^6$ Н. Воздействие импульсной нагрузки на пластину начинается в момент времени $t = 0$.

На рис. 2 представлена зависимость прогиба пластины в точке $x = 0$ от времени при различных значениях τ_φ . Видно, что с увеличением времени релаксации τ_φ амплитуда прогиба уменьшается, а период колебаний пластины увеличивается, поскольку при этом улучшаются демпфирующие характеристики основания.

На рис. 3 приведена зависимость прогиба пластины в точке $x = 0$ от времени при различных значениях h . Видно, что амплитуда прогиба пластины уменьшается с увеличением ее толщины.

На рис. 4 показана зависимость прогиба пластины в точке $x = 0$ от времени при различных значениях H . Видно, что амплитуда прогиба увеличивается с увеличением H .

На рис. 5 приведена зависимость прогиба пластины в точке $x = 0$ от времени при различных значениях модуля упругости пластины E . Видно, что с увеличением E прогиб пластины уменьшается.

На рис. 6 представлена зависимость прогиба пластины от координаты r при $H = 20$ м, $h = 0,5$ м, $\tau_\varphi = 0,5$ с в различные моменты времени.

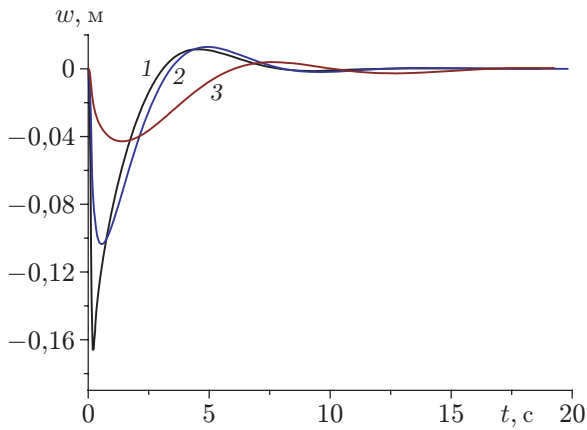


Рис. 2

Рис. 2. Зависимость прогиба пластины в точке $x = 0$ от времени при $H = 20$ м, $h = 0,5$ м и различных значениях τ_φ :

1 — $\tau_\varphi = 0,05$ с, 2 — $\tau_\varphi = 0,5$ с, 3 — $\tau_\varphi = 5$ с

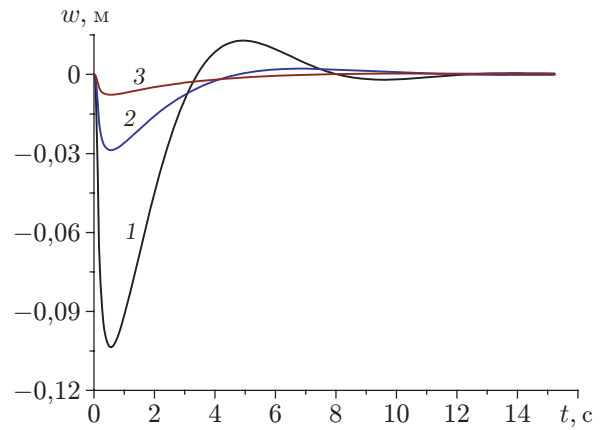


Рис. 3

Рис. 3. Зависимость прогиба пластины в точке $x = 0$ от времени при $H = 20$ м, $\tau_\varphi = 0,5$ с и различных значениях h :

1 — $h = 0,05$ м, 2 — $h = 1,0$ м, 3 — $h = 2,0$ м

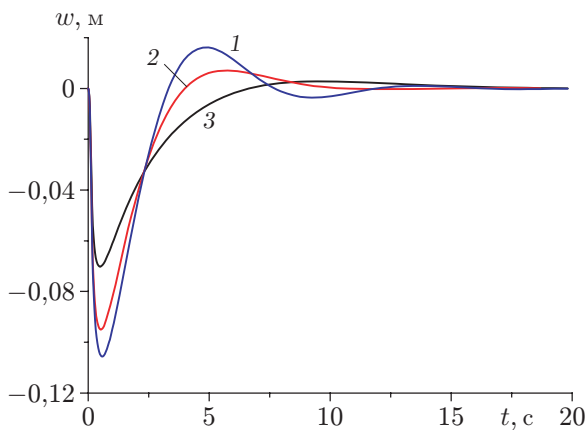


Рис. 4

Рис. 4. Зависимость прогиба пластины в точке $x = 0$ от времени при $h = 0,5$ м, $\tau_\varphi = 0,5$ с и различных значениях H :

1 — $H = 30$ м, 2 — $H = 10$ м, 3 — $H = 3$ м

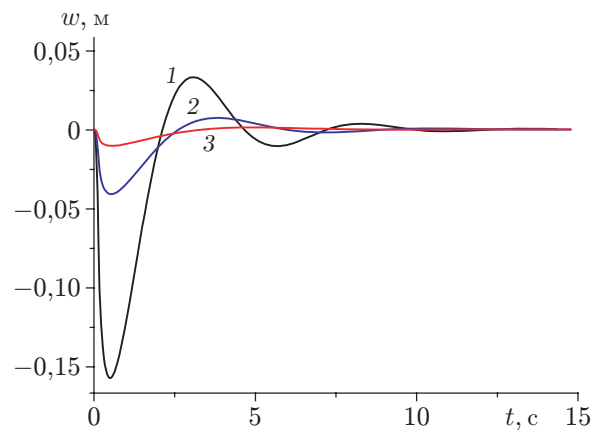


Рис. 5

Рис. 5. Зависимость прогиба пластины в точке $x = 0$ от времени при $H = 20$ м, $\tau_\varphi = 0,5$ с и различных значениях E :

1 — $E = 5 \cdot 10^7$ Н/м², 2 — $E = 5 \cdot 10^8$ Н/м², 3 — $E = 5 \cdot 10^9$ Н/м²

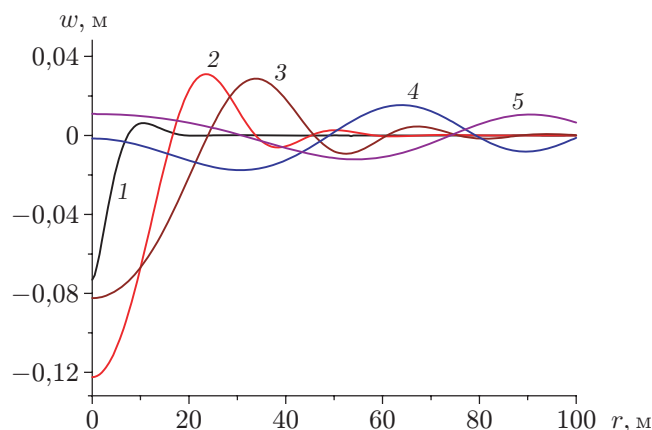


Рис. 6. Зависимость прогиба пластины от координаты r при $H = 20$ м, $h = 0,5$ м, $\tau_\varphi = 0,5$ с в различные моменты времени:
 1 — $t = 0,1$ с, 2 — $t = 0,5$ с, 3 — $t = 1,0$ с, 4 — $t = 2,0$ с, 5 — $t = 3,0$ с

Заключение. В работе с использованием преобразований Ханкеля и Лапласа получено решение задачи о колебаниях льдины, лежащей на вязкоупругом основании, при действии на нее импульса треугольной формы. Получены зависимости прогиба от времени при различных значениях физических и геометрических параметров задачи, а также распределение прогиба по пространственной координате.

ЛИТЕРАТУРА

1. **Kheisin D. Y.** Moving load on an elastic plate which floats on the surface of an ideal fluid // *Izv. Akad. Nauk SSSR. OTN. Mekh. Mashinostroenie*. 1963. N 1. P. 178–180 (in Russian).
2. **Eyre D.** The flexural motions of a floating ice sheet induced by moving vehicles // *J. Glaciology*. 1978. V. 19, iss. 81. P. 555–569.
3. **Kerr A. D.** The critical velocities of a load moving on a floating ice plate that is subjected to inplane forces // *Cold Regions Sci. Technol.* 1983. V. 6. P. 267–274.
4. **Squire V. A., Robinson W. H., Haskell T. G., Moore S. C.** Dynamic strain response of lake and sea ice to moving loads // *Cold Regions Sci. Technol.* 1985. V. 11. P. 123–139.
5. **Squire V. A.** Moving loading on ice plates / V. A. Squire, R. J. Hosking, A. D. Kerr, P. J. Langhorne. Dordrecht: Kluwer Acad. Publ., 1996.
6. **Takizawa T.** Response of a floating sea ice sheet to a moving vehicle // *Proc. of the 5th Intern. offshore mechanics and arctic engineering symp.* Tokyo: S. n., 1986. V. 4. P. 614–621.
7. **Miles J., Sneyd A. D.** The response of a floating ice sheet to an accelerating line load // *J. Fluid Mech.* 2003. V. 497. P. 435–439.
8. **Wang K., Hosking R. J., Milinazzo F.** Time-dependent response of a floating viscoelastic plate to an impulsively started moving load // *J. Fluid Mech.* 2004. V. 521. P. 435–439.
9. **Bonnefoy F., Meylan M. H., Ferrant P.** Nonlinear higher-order spectral solution for a two-dimensional moving load on ice // *J. Fluid Mech.* 2009. V. 621. P. 215–242.
10. **Squire V. A., Robinson W. H., Langhorne P. J., Haskell T. G.** Vehicles and aircraft on floating ice // *Nature*. 1988. V. 333. P. 159–161.
11. **Takizawa T.** Deflection of a floating sea ice sheet induced by a moving load // *Cold Regions Sci. Technol.* 1985. V. 11. P. 171–180.

12. **Takizawa T.** Field studies on response of a floating sea ice sheet to a steadily moving load // Contrib. Inst. Low Temperature. Sci. 1987. V. A36. P. 31–76.
13. **Takizawa T.** Response of a floating sea ice sheet to a steadily moving load // J. Geophys. Res. 1988. V. 93. P. 5100–5112.
14. **Kozin V. M., Pogorelova A. V.** Effect of a shock pulse on a floating ice sheet // J. Appl. Mech. Tech. Phys. 2004. V. 45, N 6. P. 794–798.
15. **Kozin V. M., Pogorelova A. V.** Mathematical modeling of shock loading of a solid ice cover // Intern. J. Offshore Polar Engng. 2006. V. 16, N 1. P. 1–4.
16. **Zhestkaya V. D., Kozin V. M.** Numerical solution of the problem of the effect of a shock pulse on an ice sheet // J. Appl. Mech. Tech. Phys. 2008. V. 49, N 2. P. 285–290.
17. **Pogorelova A. V.** Plane problem of the impact of several shock pulses on a viscoelastic plate floating on a fluid surface // J. Appl. Mech. Tech. Phys. 2010. V. 51, N 2. P. 155–163.
18. **Lu D. Q., Dai S. Q.** Generation of transient waves by impulsive disturbances in an inviscid fluid with an ice-cover // Arch. Appl. Mech. 2006. V. 76. P. 49–63.
19. **Lu D. Q., Li J. C., Dai S. Q.** Flexural-gravity waves due to transient disturbances in an inviscid fluid of finite depth // J. Hydrodyn. 2008. V. 20. P. 131–136.
20. **Hu M. Y., Zhang Z. H.** Research of dynamic response of viscoelastic floating ice plate under the unit-impulse loading // J. Naval Univ. Engng. 2011. V. 23. P. 5–7.
21. **Hu M. Y., Zhang Z. H.** Approximate analytical solutions of steady response of floating ice plate under the sinusoidal loading // J. Huazhong Univ. Sci. Technol. 2012. V. 40. P. 58–61.

*Поступила в редакцию 12/V 2016 г.,
в окончательном варианте — 16/VI 2016 г.*
